

Fig. 419.

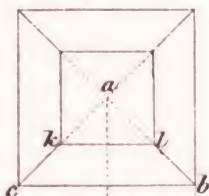
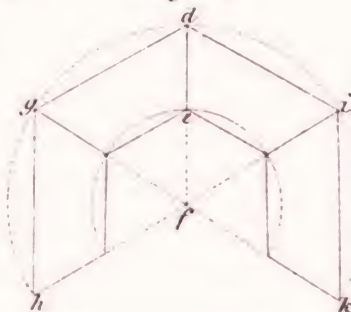


Fig. 421.



Geometrie und deren
anwendung auf das ...

Theodor Raetz

3169
744
Atlas

Library of



Princeton University.

Presented by

MRS. WILLIAM C. OSBORN
MR. CHARLES SCRIBNER, '75,
MR. DAVID PATON, '74,
MR. HENRY W. GREEN, '91,
MR. ALEXANDER VAN RENSSELAER, '71
MR. ARCHIBALD D. RUSSELL,
MR. CYRUS H. McCORMICK, '79.

(RECAP)

8169

744

atlas

422115

Fig. 1.

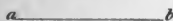


Fig. 2.

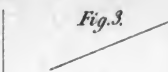


Fig. 3.

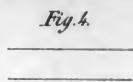


Fig. 4.

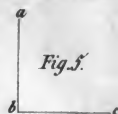


Fig. 5.

Fig. 10.

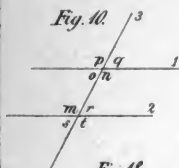


Fig. 11.



Fig. 12.



Fig. 13.



Fig. 18.



Fig. 19.



Fig. 20.



Fig. 21.

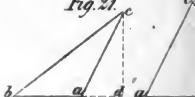


Fig. 26.



Fig. 27.



Fig. 28.

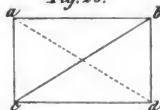


Fig. 29.



Fig. 34.

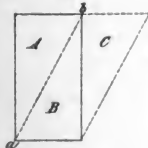


Fig. 35.

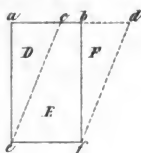


Fig. 36.

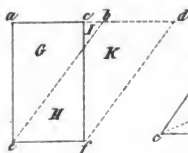


Fig. 37.

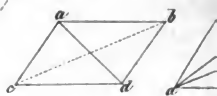


Fig. 42.

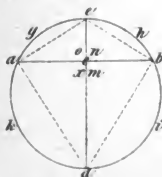


Fig. 43.

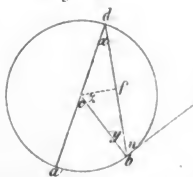


Fig. 44.

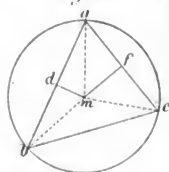


Fig. 6.

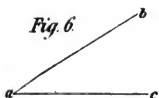


Fig. 7.



Fig. 8.

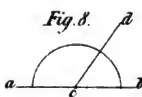


Fig. 9.

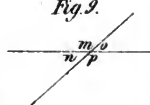


Fig. 14.

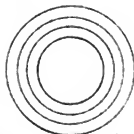


Fig. 15.

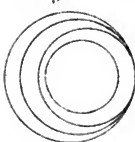


Fig. 16.



Fig. 17.



Fig. 22.

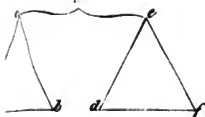


Fig. 23.

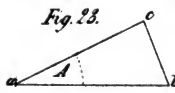


Fig. 24.

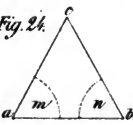


Fig. 25.

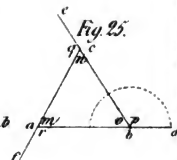


Fig. 30.



Fig. 31.

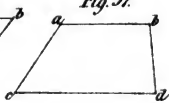


Fig. 32.

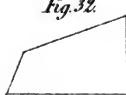


Fig. 33.

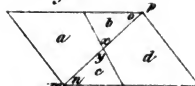


Fig. 38.

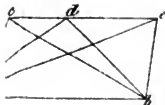


Fig. 39.

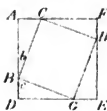


Fig. 40.

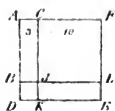


Fig. 41.

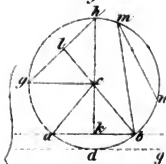
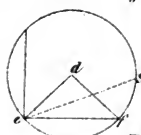
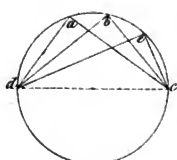
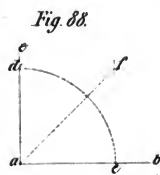
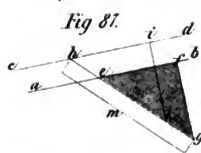
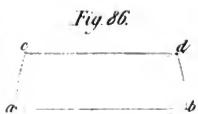
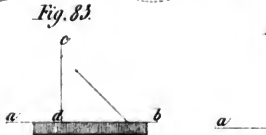
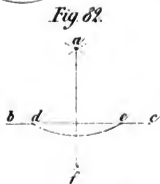
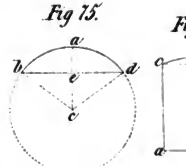
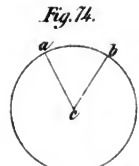
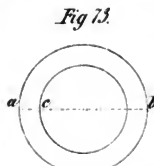
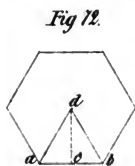
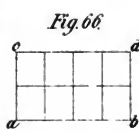
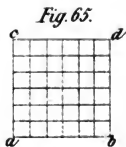
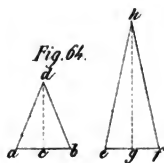
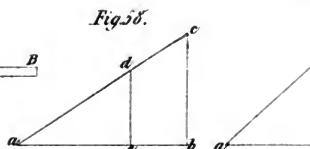
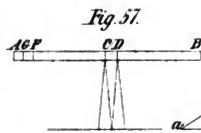
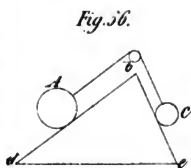
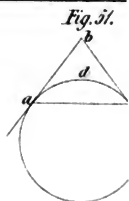
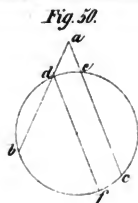
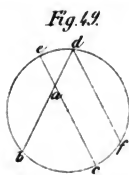
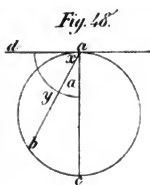


Fig. 46.



Fig. 47.





il.

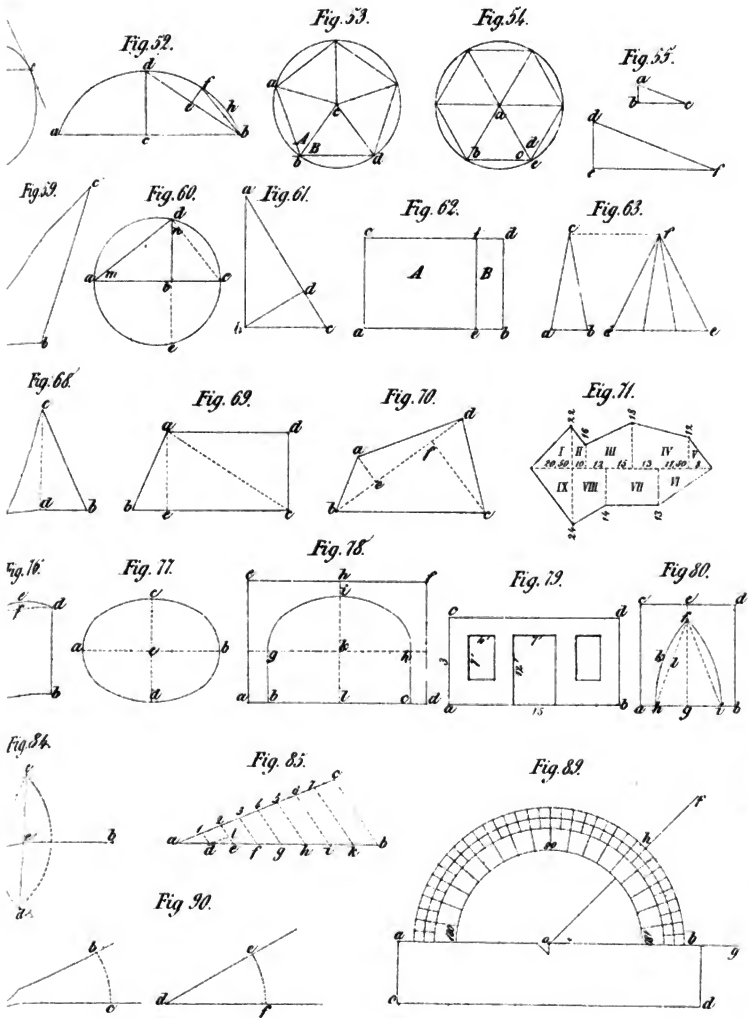


Fig. 91.

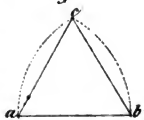


Fig. 92.

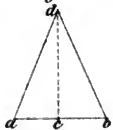


Fig. 93.



Fig. 94.

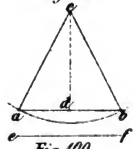


Fig. 98.

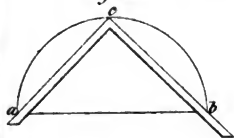


Fig. 99.

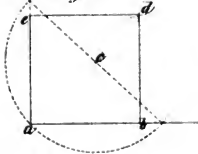


Fig. 100.

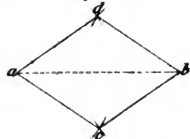


Fig. 104.

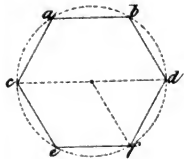


Fig. 105.

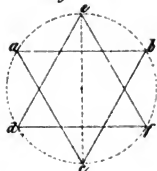


Fig. 106.

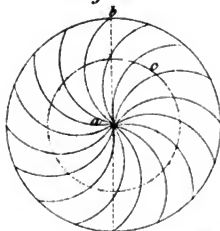


Fig. 110.

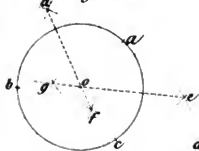


Fig. 111.

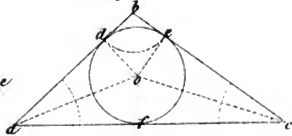


Fig. 112.

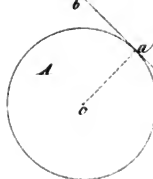


Fig. 116.

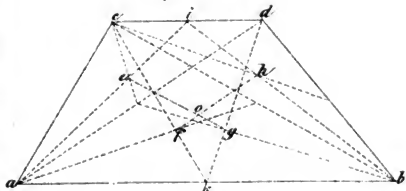


Fig. 117.



Fig. 95.

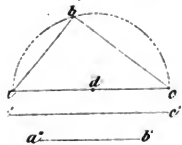


Fig. 96.

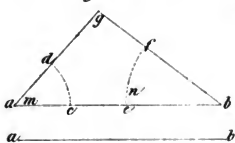


Fig. 97.

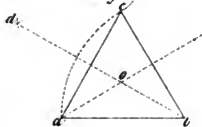


Fig. 102.

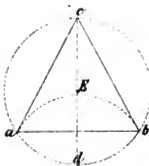


Fig. 103.

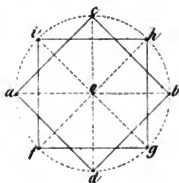


Fig. 104.



Fig. 107.

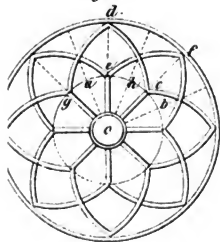


Fig. 108.

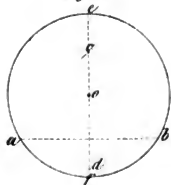


Fig. 109.

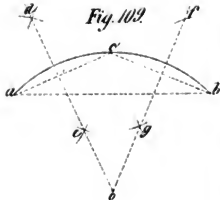


Fig. 113.

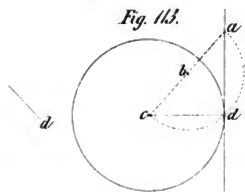


Fig. 114.

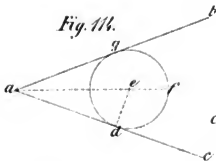


Fig. 115.

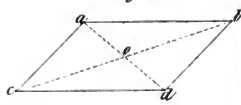


Fig. 118.

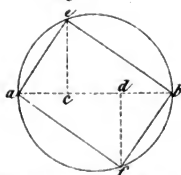


Fig. 119.

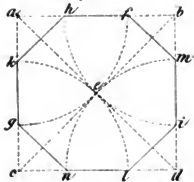


Fig. 120.

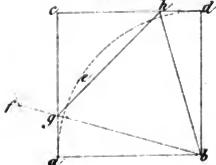


Fig. 121.

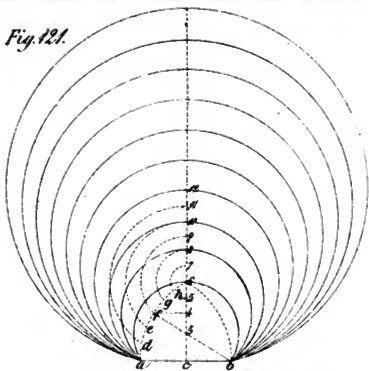


Fig. 122.

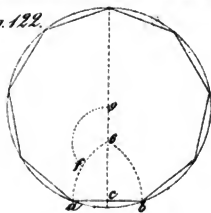


Fig. 126.

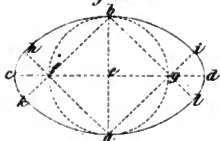


Fig. 129.

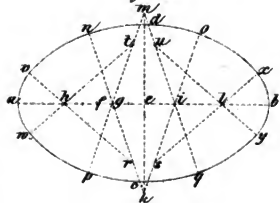


Fig. 130.

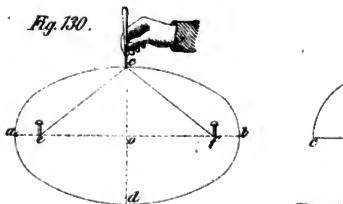


Fig. 132.

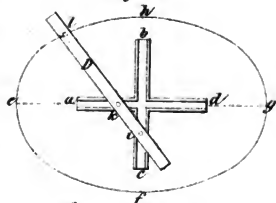


Fig. 136.

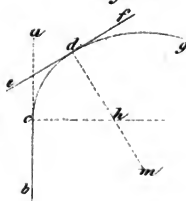


Fig. 13.

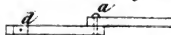


Fig. 137.

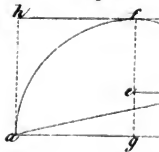


Fig. 139.



Fig. 140.

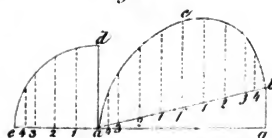


Fig. 14.

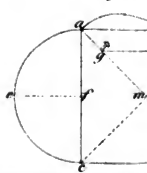


Fig. 123.

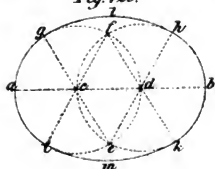


Fig. 124.

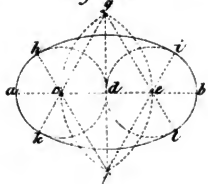


Fig. 125.



Fig. 127.

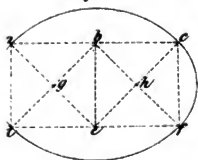


Fig. 128.

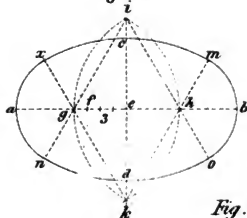


Fig. 134.

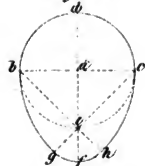


Fig. 131.

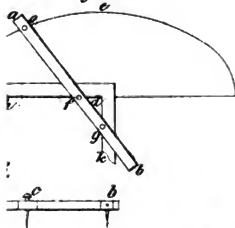


Fig. 135.

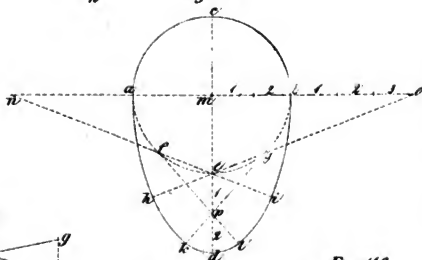


Fig. 138.

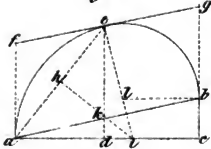


Fig. 141.

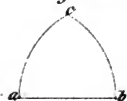


Fig. 142.

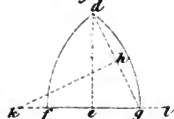


Fig. 144.

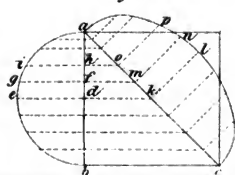
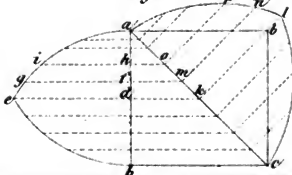


Fig. 145.



R

Fig. 146

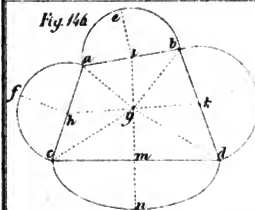


Fig. 151

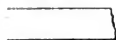


Fig. 152

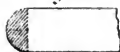


Fig. 160



Fig. 168

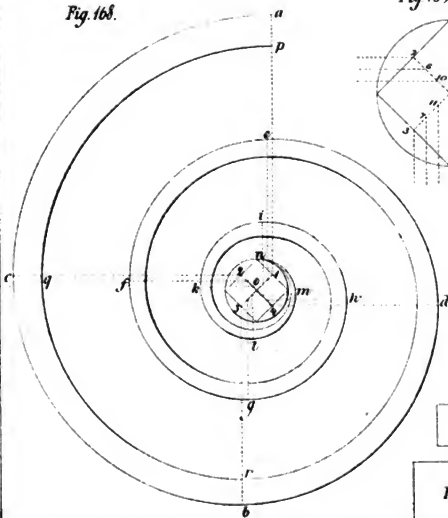


Fig. 153



Fig. 161

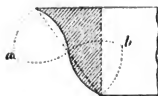


Fig. 154



Fig. 162

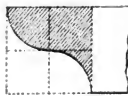


Fig. 169

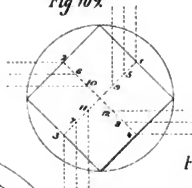


Fig. 147

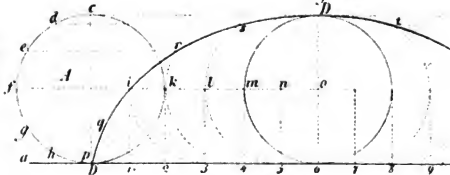


Fig. 155



Fig. 163

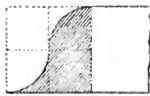


Fig. 171



Fig. 172

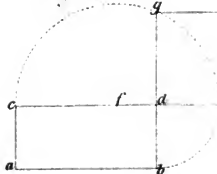
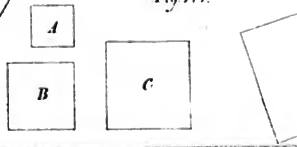


Fig. 177



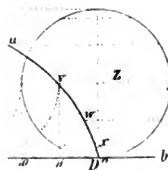


Fig. 146.



Fig. 147.

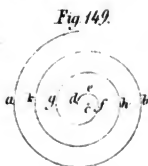


Fig. 148.



Fig. 149.

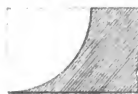


Fig. 154.

Fig. 155.

Fig. 156.

Fig. 157.

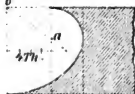
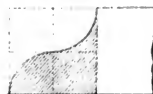


Fig. 171.

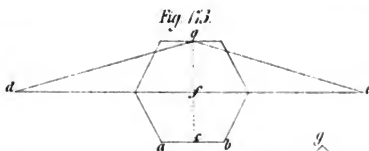
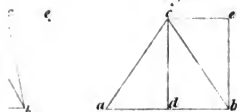


Fig. 175.



Fig. 176.

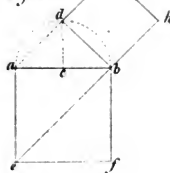


Fig. 174.

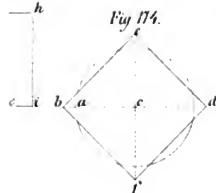


Fig. 178.



Fig. 179.



Fig. 180.

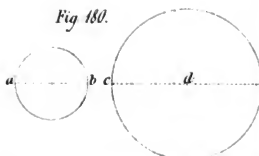


Fig. 181

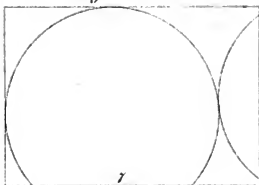


Fig. 182

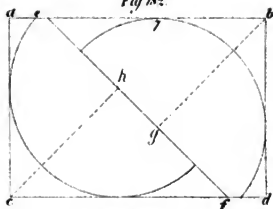


Fig. 183

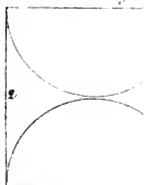


Fig. 186

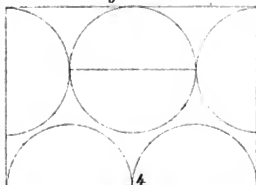


Fig. 187

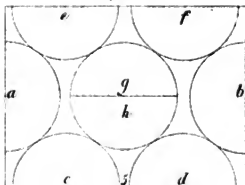


Fig. 188



Fig. 191

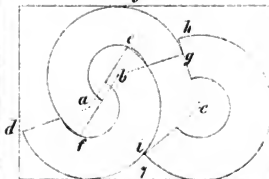


Fig. 192



Fig. 194



Fig. 197

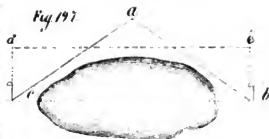


Fig. 198

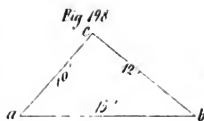


Fig. 203

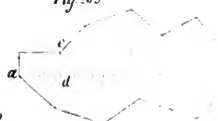


Fig. 199

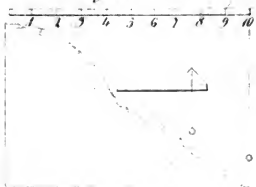


Fig. 200



Fig. 201



Fig 184

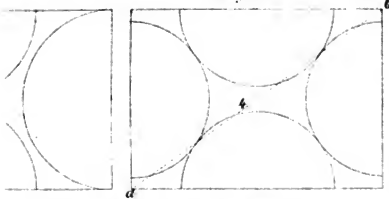


Fig 185

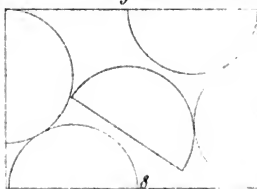


Fig 183



Fig 189

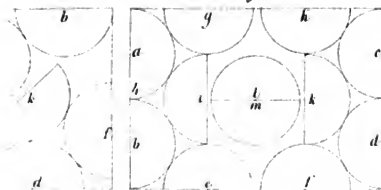


Fig 190

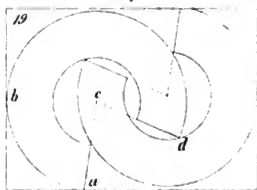


Fig 195

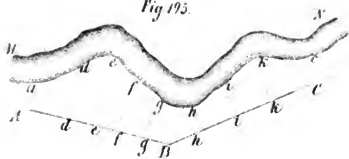


Fig 196

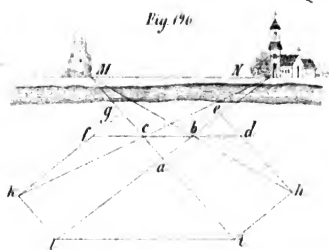


Fig 202

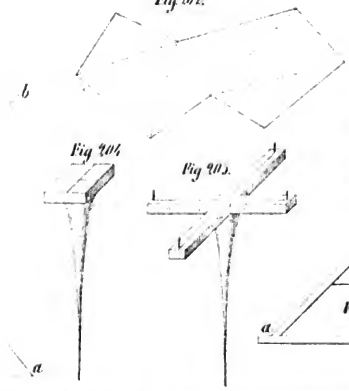


Fig 204

Fig 205

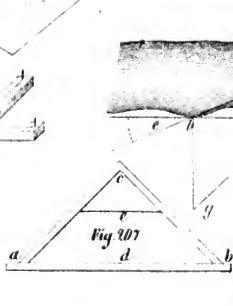


Fig 207

Fig 206

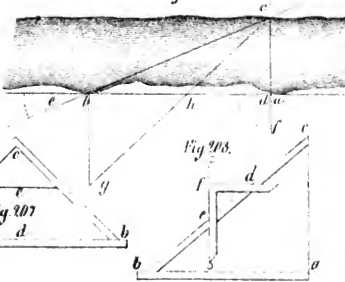


Fig 208

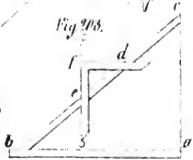


Fig 209.



Fig 210



Fig 211.



Fig 212



Fig 213



Fig 214



Fig 220

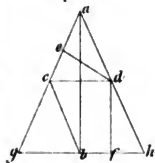


Fig 221.

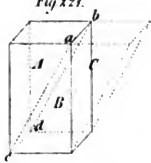


Fig 222.

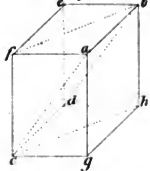


Fig 223.

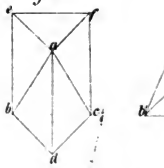


Fig 228



Fig 229.

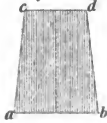


Fig 230

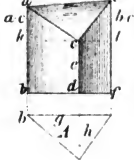


Fig 231.

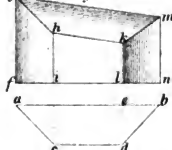


Fig 232.



Fig 237.

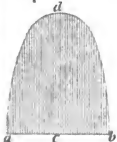


Fig 238

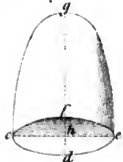


Fig 239

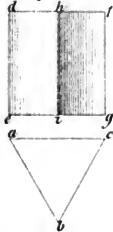


Fig 240.

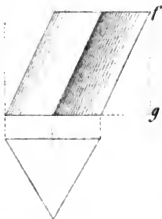


Fig 243.

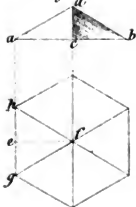


Fig 244.



Fig 245.

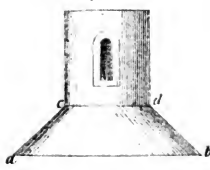


Fig 2

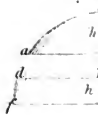


Fig. 215



Fig. 216

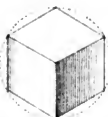


Fig. 217

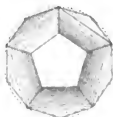


Fig. 218



Fig. 219



Fig. 224

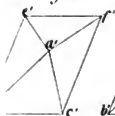


Fig. 225

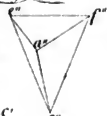


Fig. 226

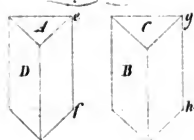


Fig. 227

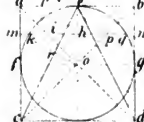


Fig. 233



Fig. 234



Fig. 235



Fig. 236



Fig. 248

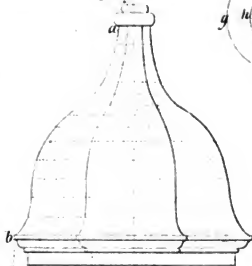


Fig. 242



Fig. 247

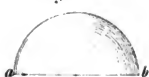


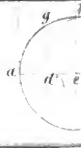
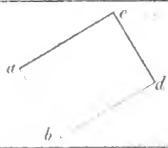
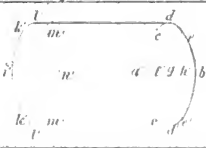
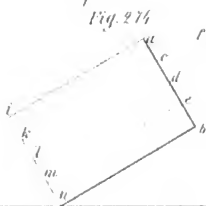
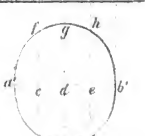
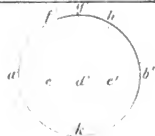
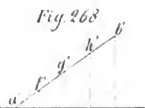
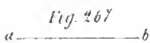
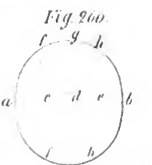
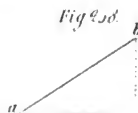
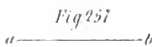
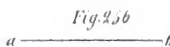
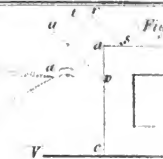
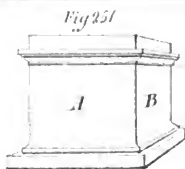
Fig. 249





a
a
a

a
a
a



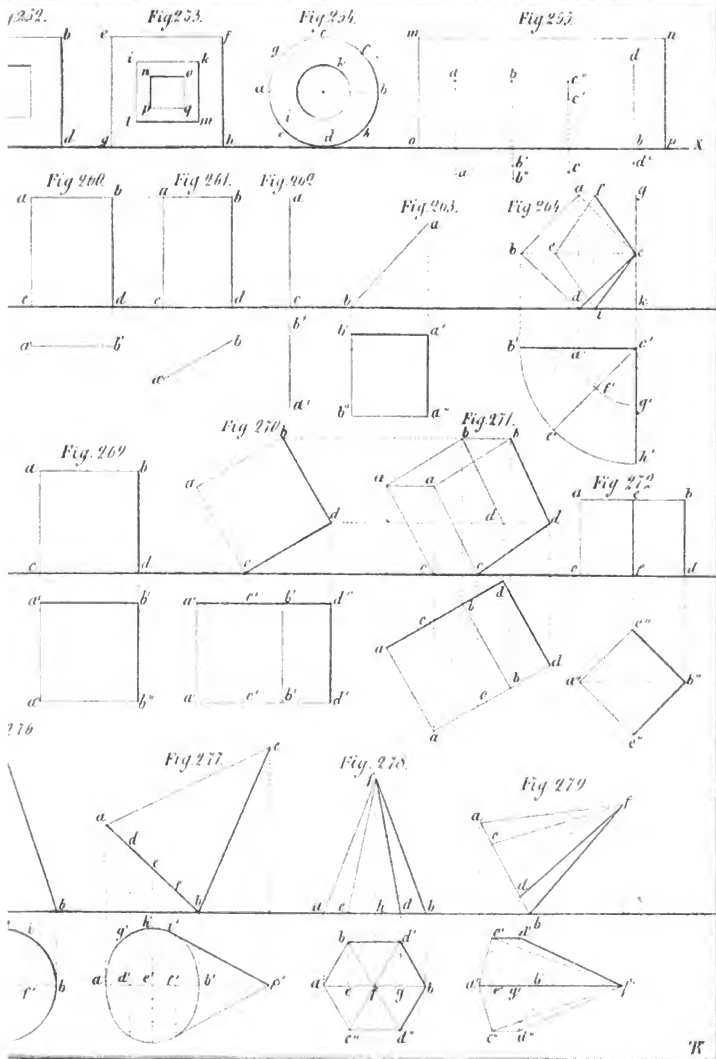


Fig. 280.

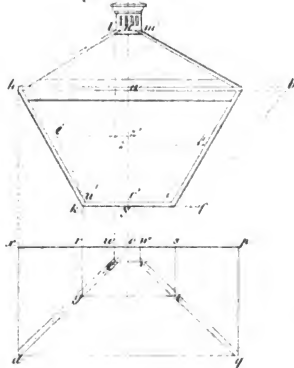


Fig. 281.

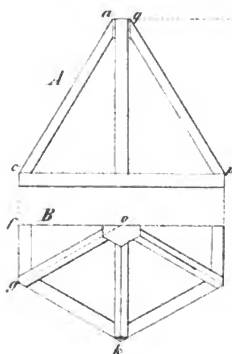


Fig. 282.

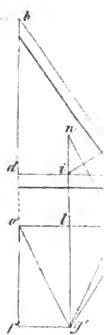


Fig. 283.

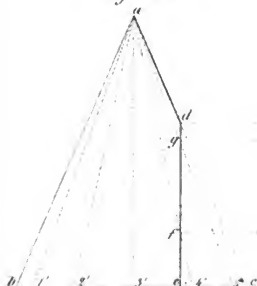


Fig. 286.

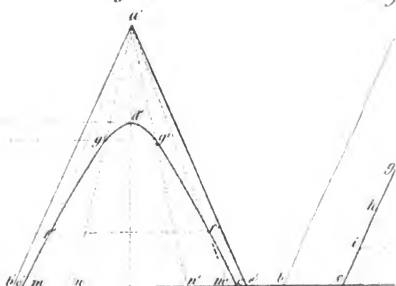


Fig.

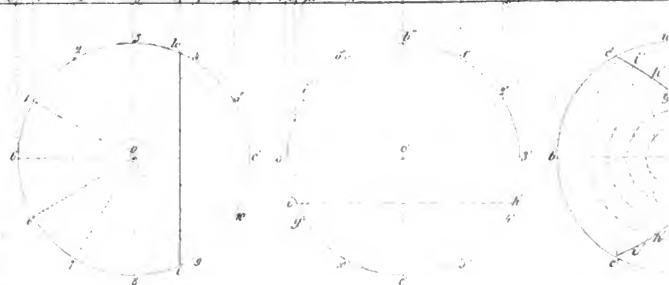


Fig. 283.

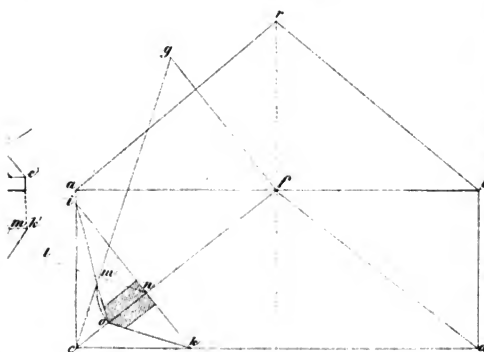
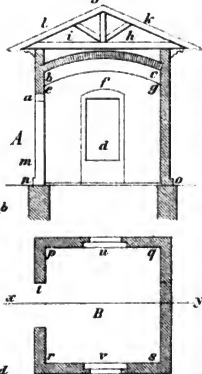


Fig. 284.



287.

Fig. 288.

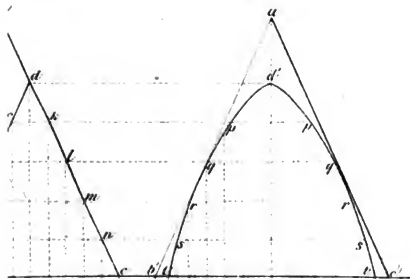


Fig. 289.

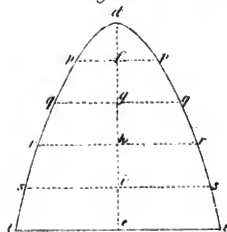
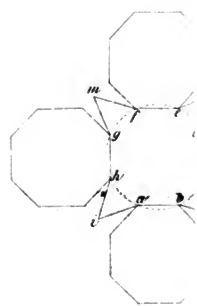
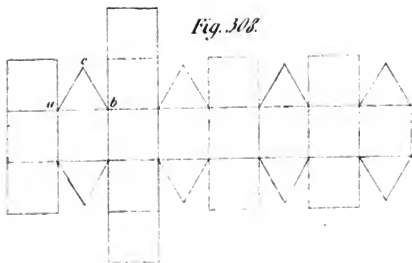
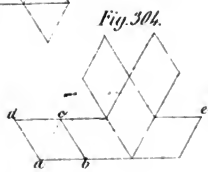
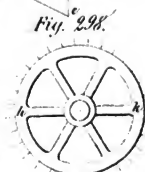
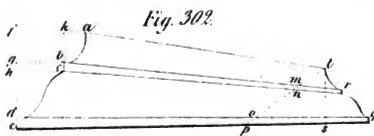
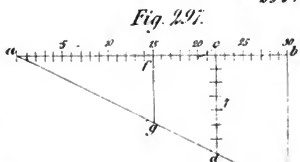
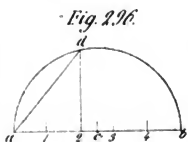
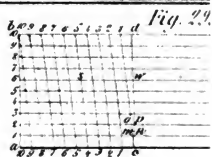
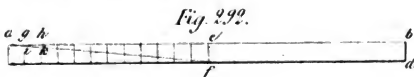
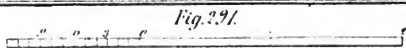


Fig. 290.



R.



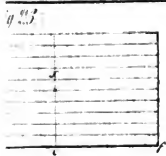


Fig. 299.

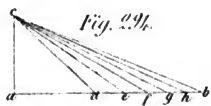
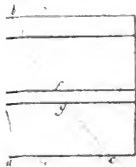


Fig. 299.

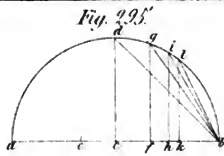


Fig. 299.

Fig. 300.

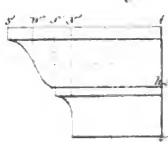


Fig. 301.

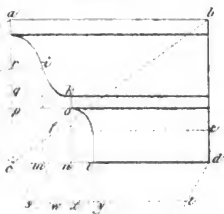


Fig. 306.



Fig. 307.



Fig. 309.



Fig. 310.

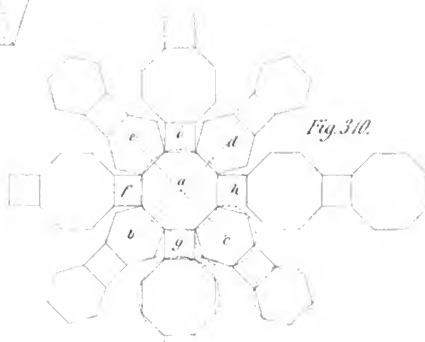


Fig. 311.

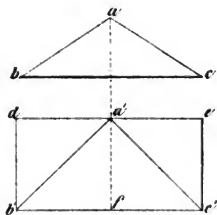


Fig. 313.

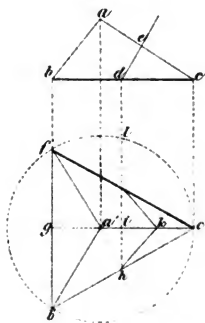


Fig. 314.

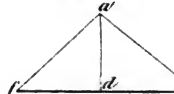


Fig. 316.

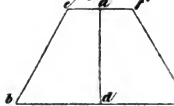


Fig. 312.

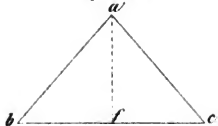


Fig. 319.

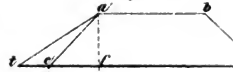


Fig. 320.

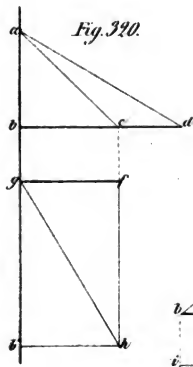


Fig. 321.

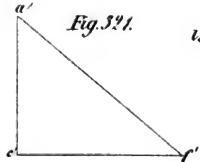


Fig. 323.

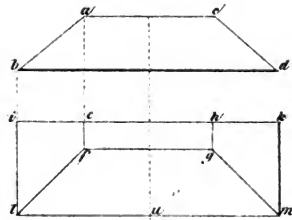


Fig. 325.

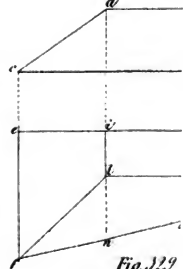


Fig. 322.

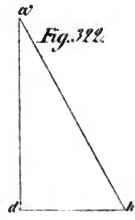


Fig. 324.



Fig. 327.



Fig. 315.

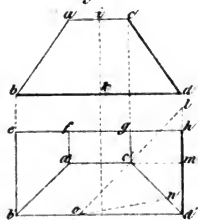


Fig. 317.

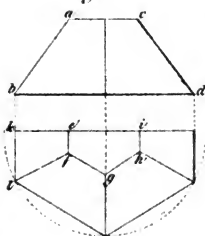


Fig. 318.

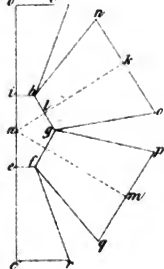


Fig. 325.

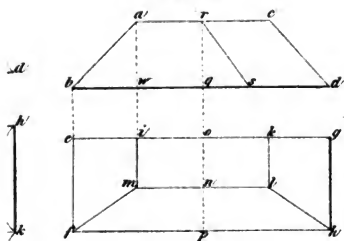


Fig. 326.

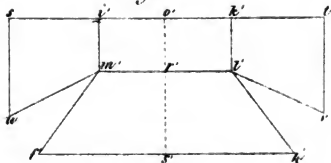


Fig. 331.

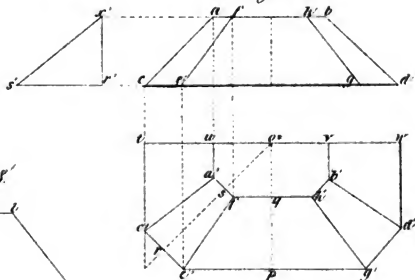


Fig. 328.

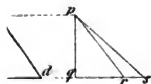


Fig. 330.

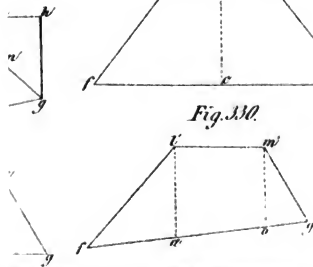
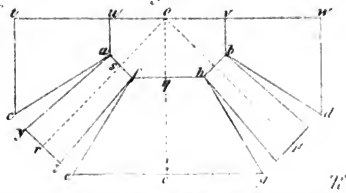
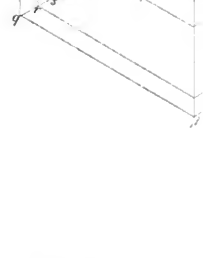
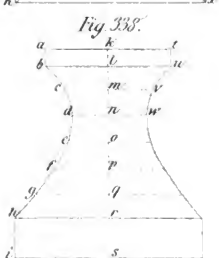
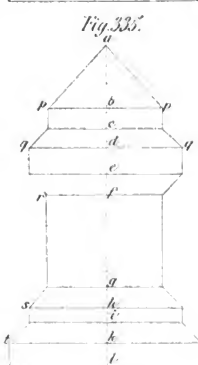
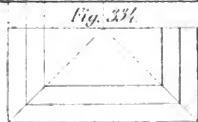
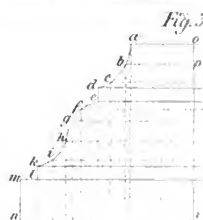
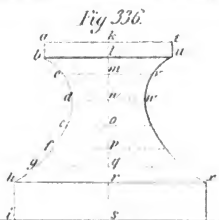
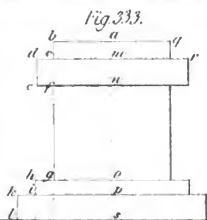
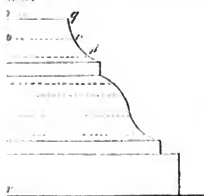


Fig. 332.





339.



340.

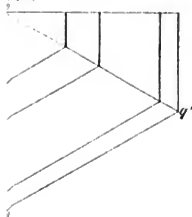


Fig. 342.

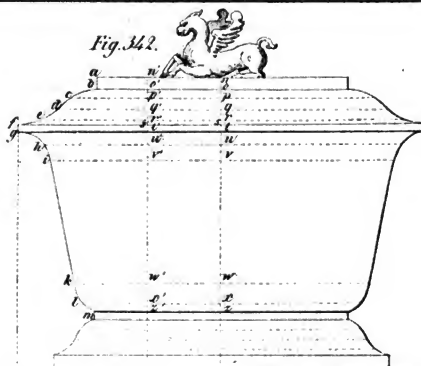


Fig. 343.

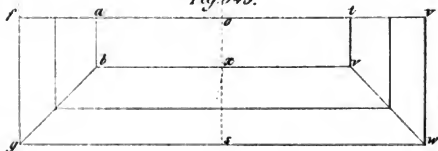


Fig. 345.

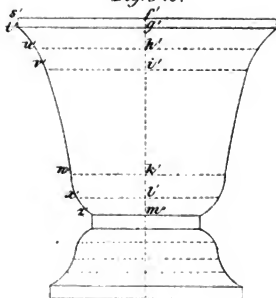


Fig. 346.



R.

Fig. 347.

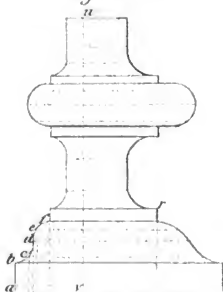


Fig. 351.

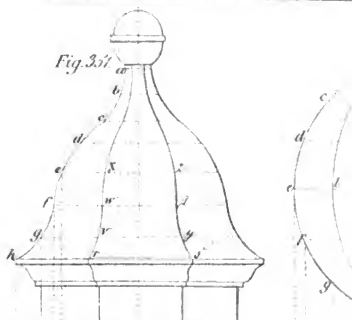


Fig. 348.

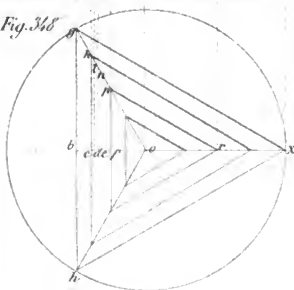


Fig. 352.



Fig. 353.

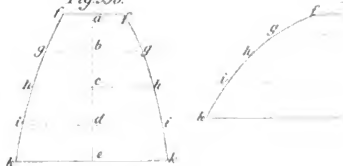


Fig. 350.

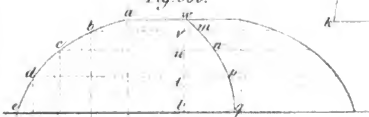


Fig. 357.

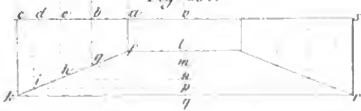


Fig. 355.



Fig. 359.



Fig. 333.

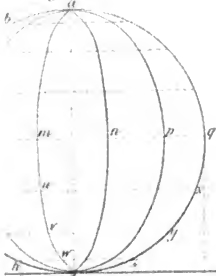


Fig. 362.

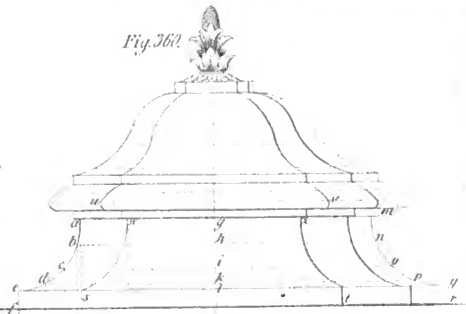


Fig. 334.

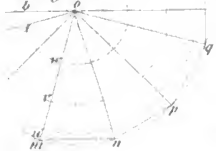


Fig. 361.

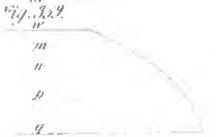
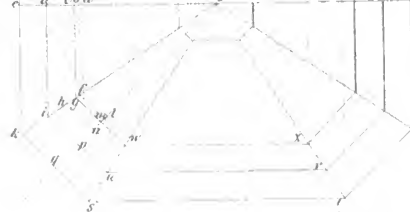


Fig. 363.

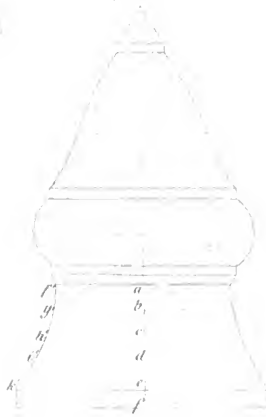
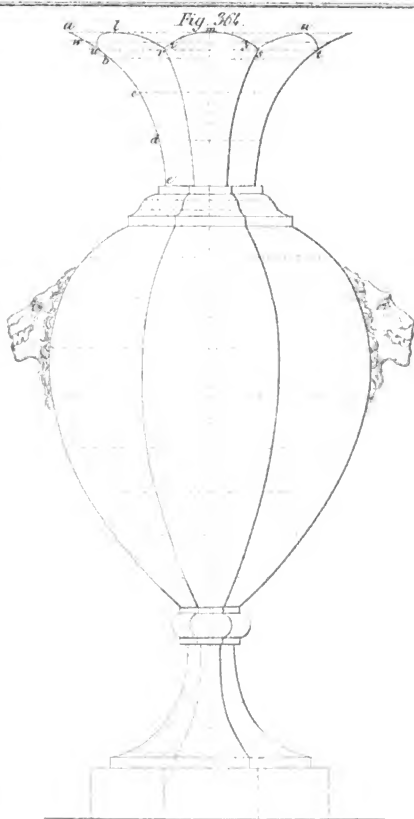


Fig. 364.



Fig. 349.





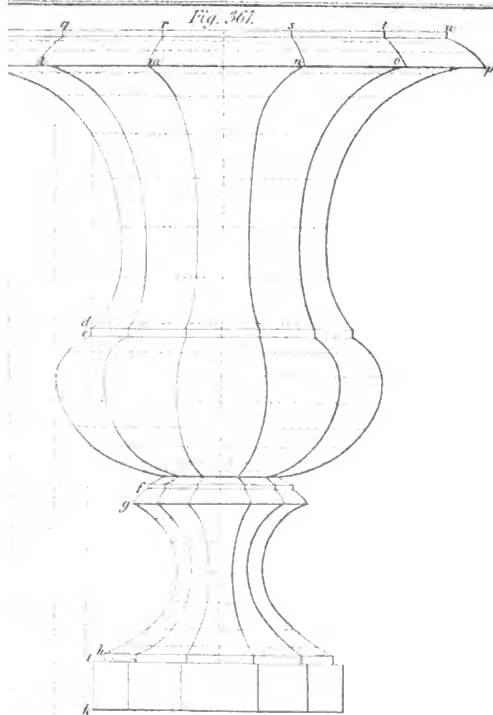


Fig. 368.



Fig. 3a?

 \mathcal{K}

Fig. 570.

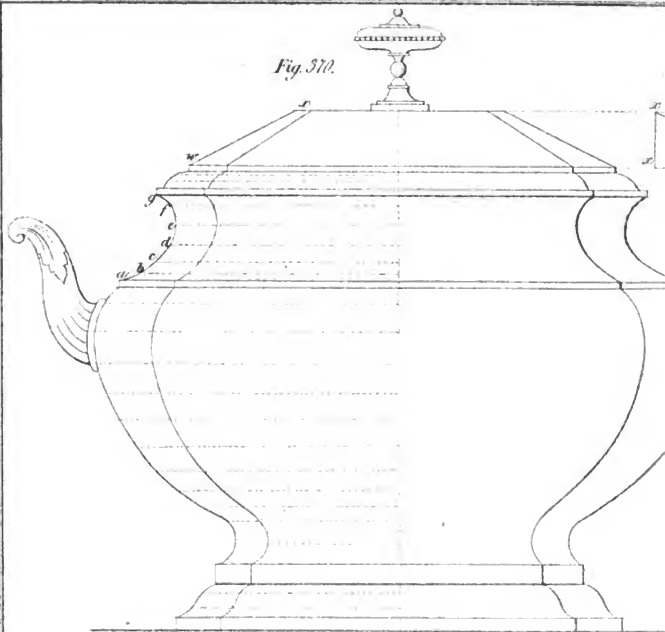


Fig. 376.

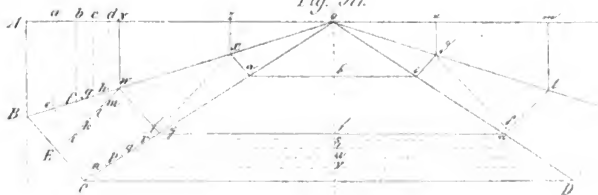


Fig. 377.



Fig. 372.



Fig. 373.

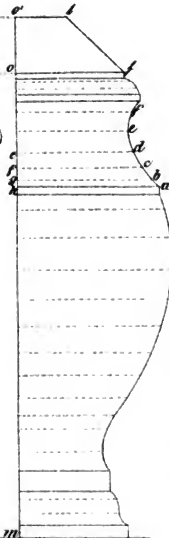


Fig. 374.

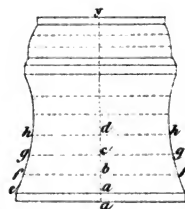


Fig. 375.



Fig. 376.

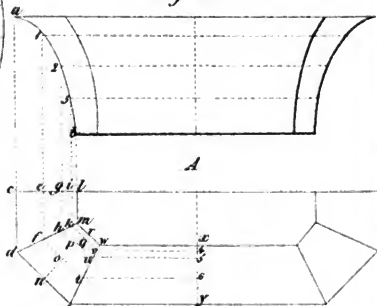


Fig. 376.

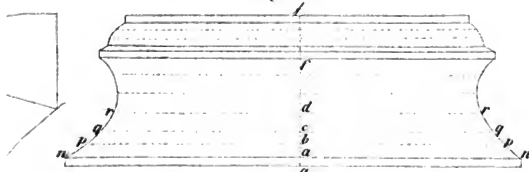


Fig. 379.

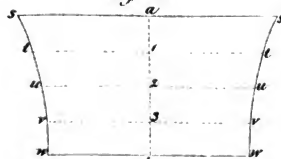


Fig. 380.



Fig. 381.

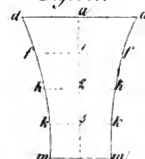


Fig. 382.

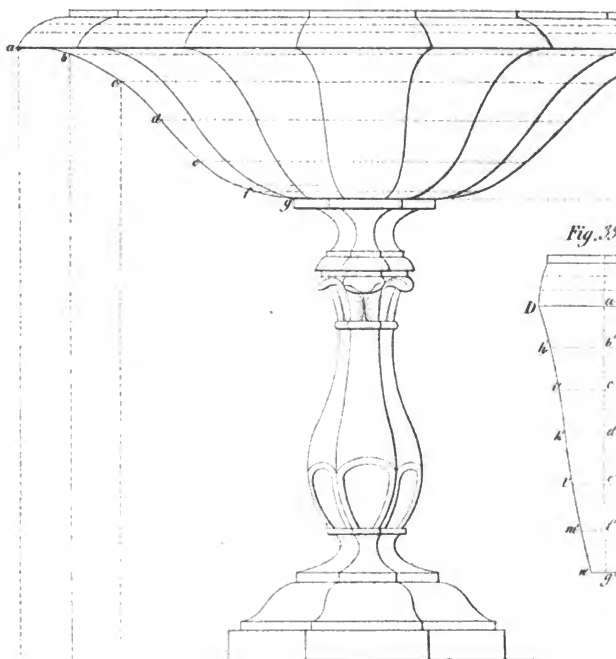


Fig. 383.

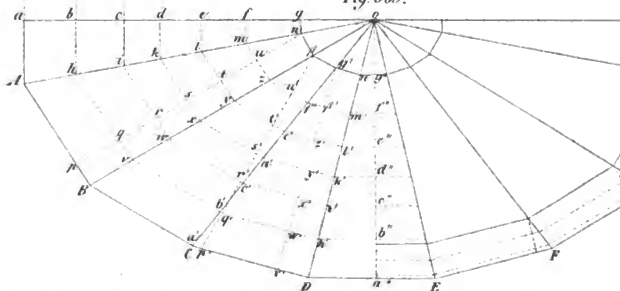


Fig. 384.

Fig. 385.

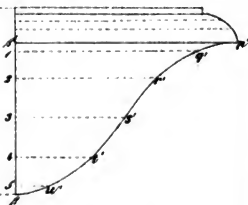
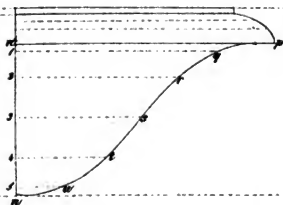


Fig. 386.

Fig. 387.

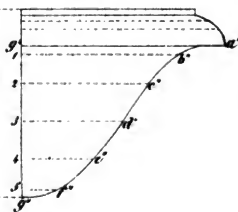
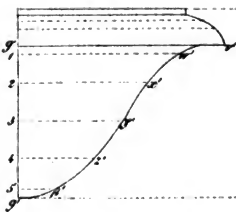
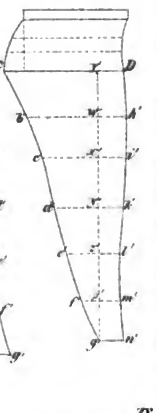
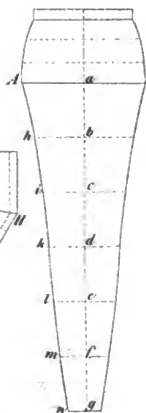


Fig. 388.

Fig. 389.

Fig. 390.

Fig. 391.



R

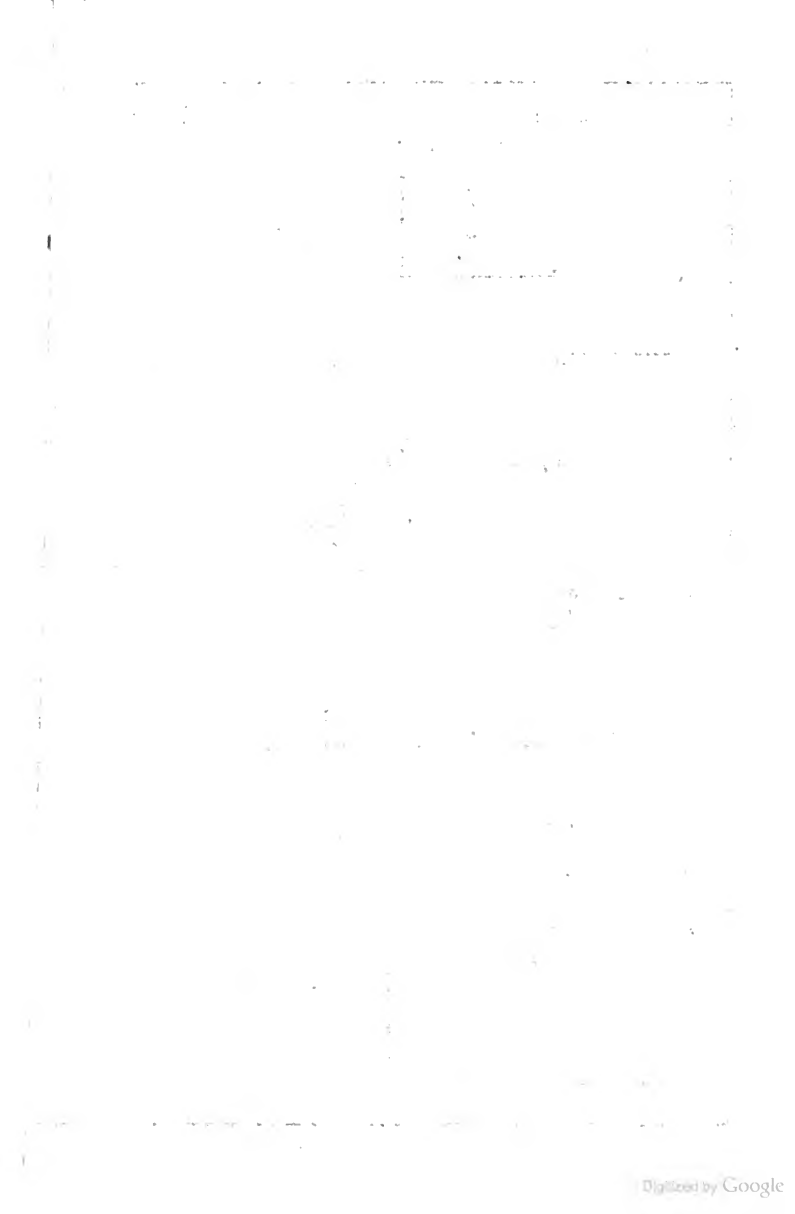


Fig. 393.

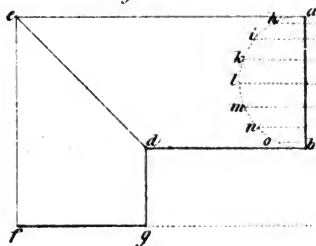


Fig. 394.

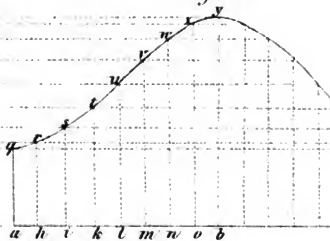
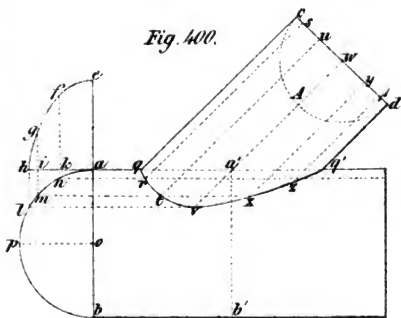


Fig. 400.



Fi

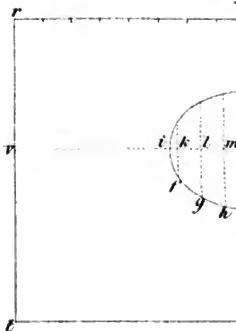


Fig. 397.

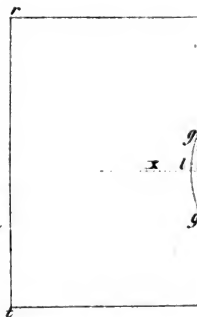
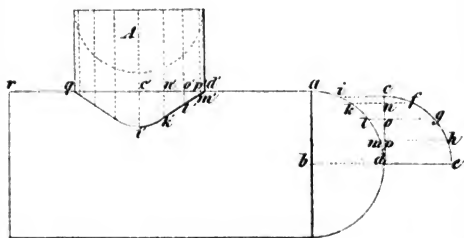


Fig. 395.

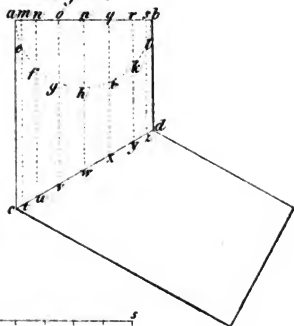


Fig. 396.

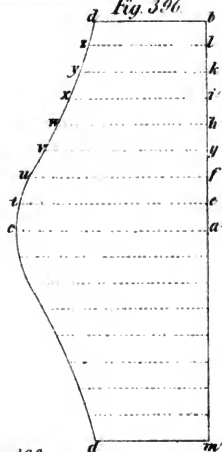


Fig. 399.

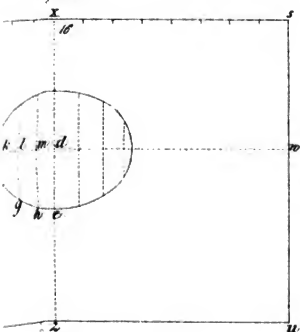


Fig. 398.

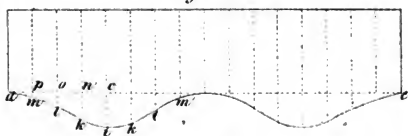


Fig. 402.

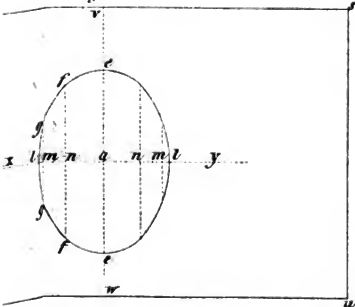


Fig. 401.

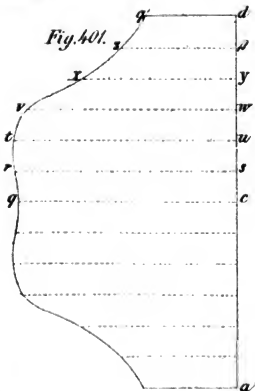


Fig. 403.

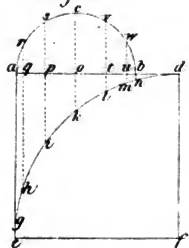


Fig. 404.

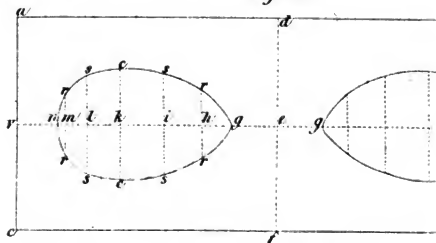


Fig. 406.

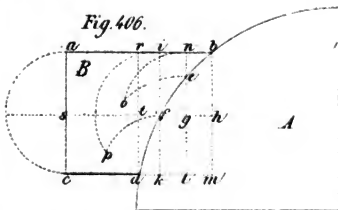


Fig. 405.

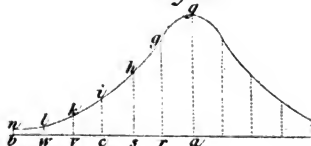


Fig. 407.

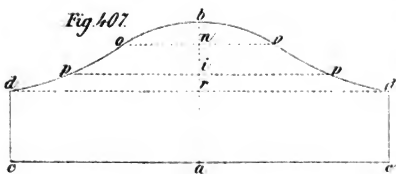


Fig. 411.

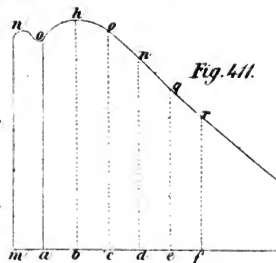


Fig. 408.

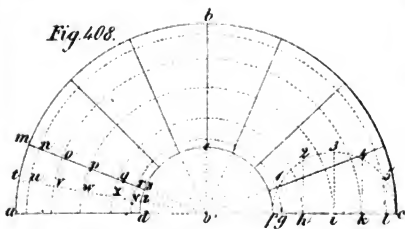


Fig. 410.

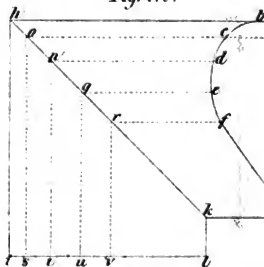
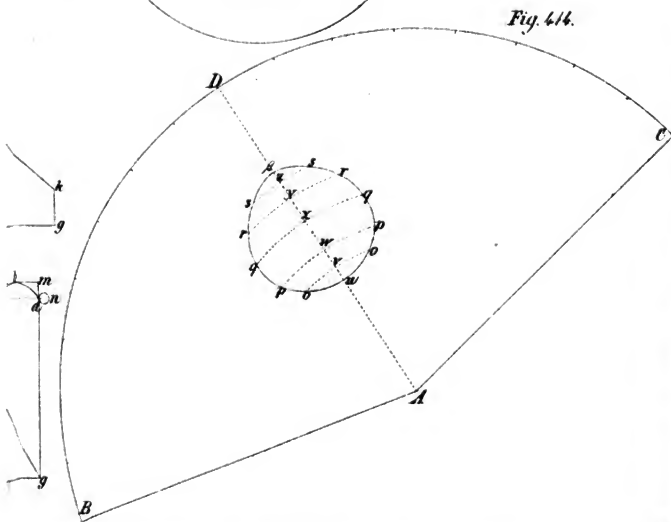
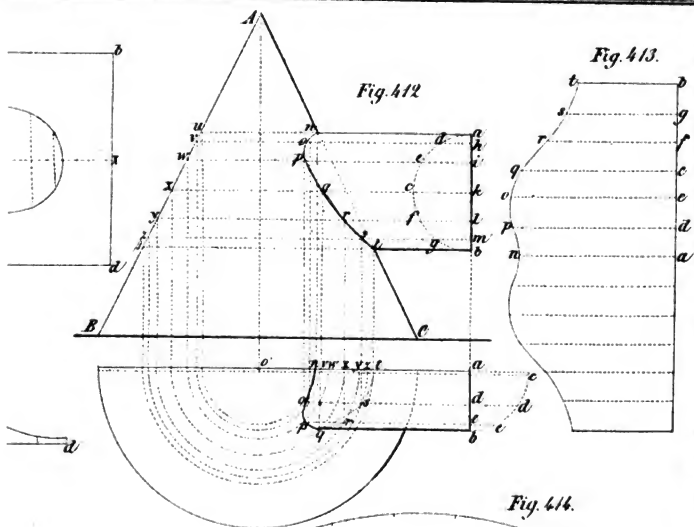


Fig. 409.





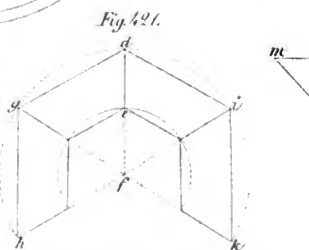
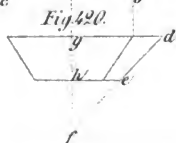
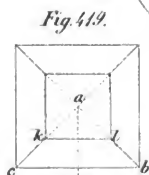
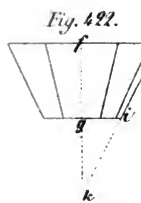
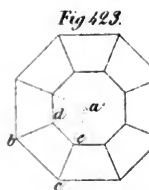
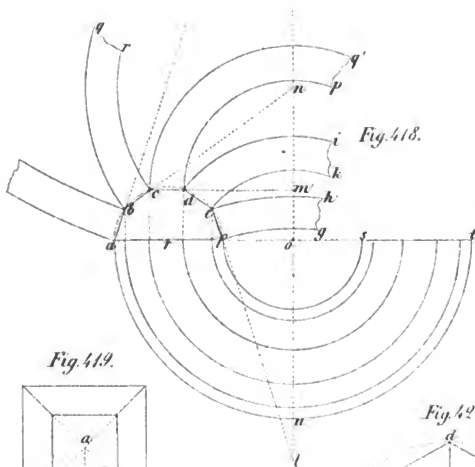
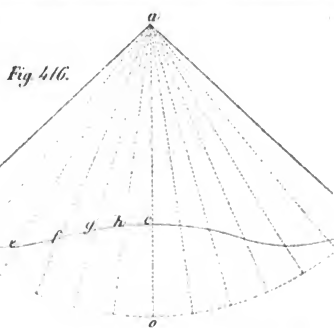
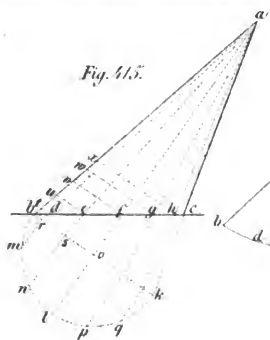


Fig. 417.

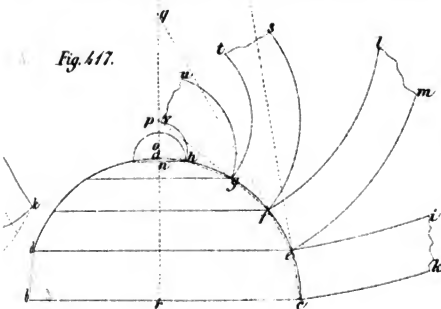


Fig. 420.

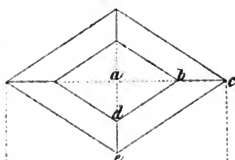


Fig. 425.



Fig. 424.

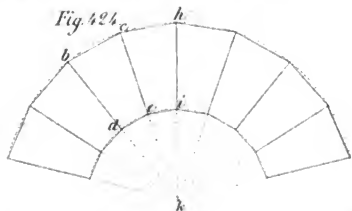


Fig. 427.

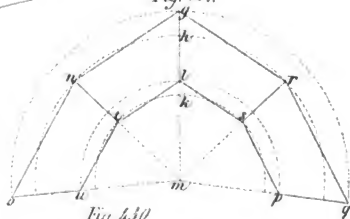


Fig. 430.

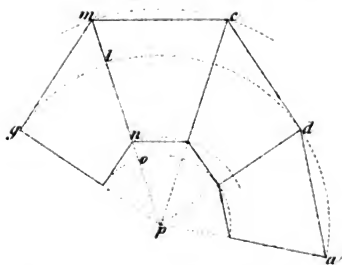


Fig. 428.

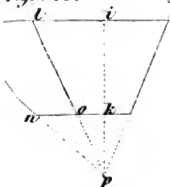
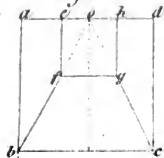
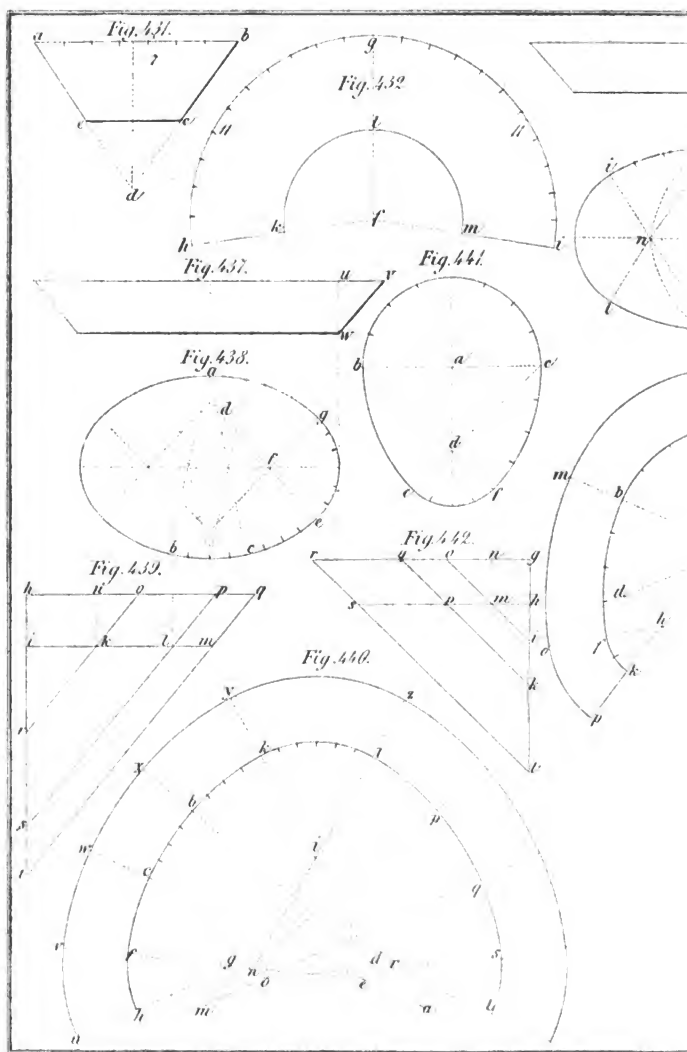


Fig. 429.





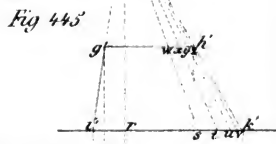
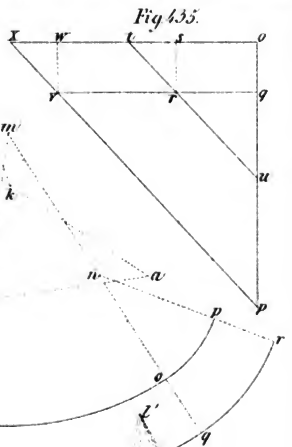
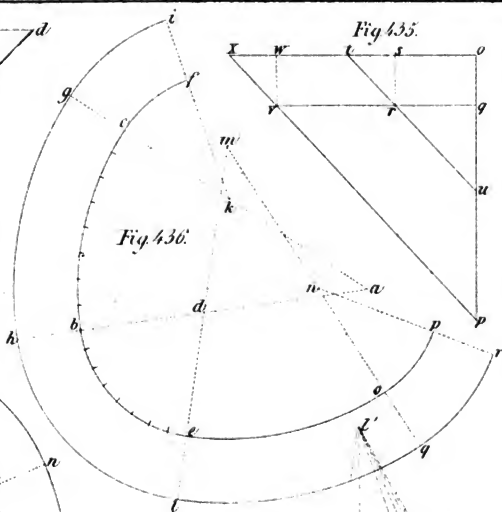
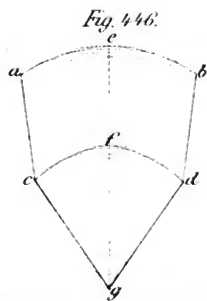
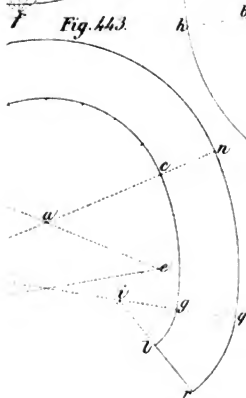
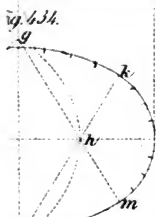


Fig. 447.



Fig. 448.



Fig. 449.

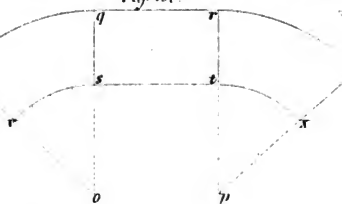


Fig. 450.

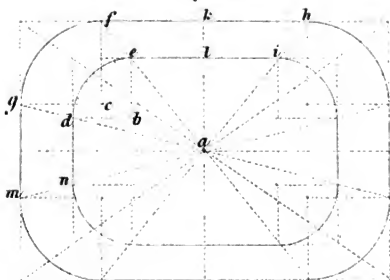


Fig. 451.

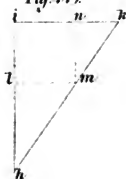


Fig. 452.

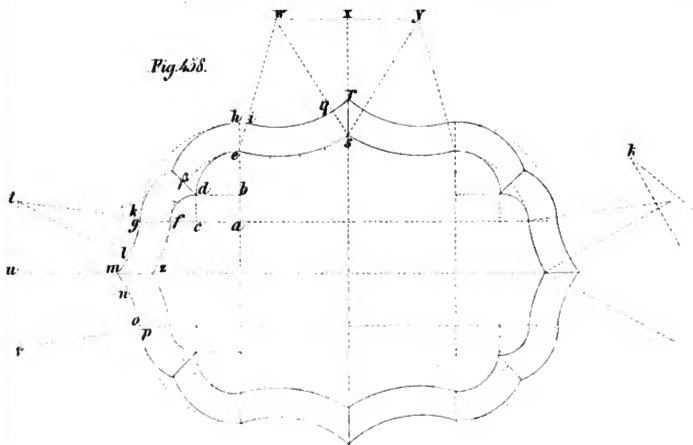


Fig. 451.



Fig. 452.

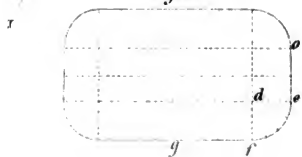


Fig. 453.

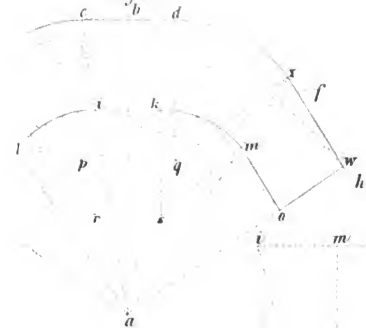


Fig. 460.

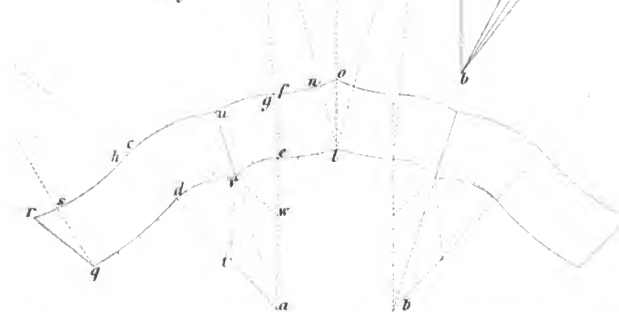


Fig. 454.

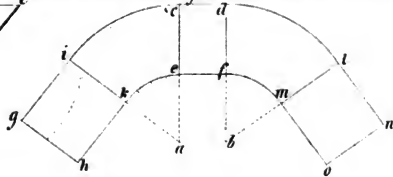


Fig. 455.



Fig. 459.

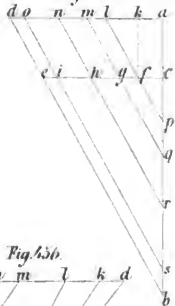
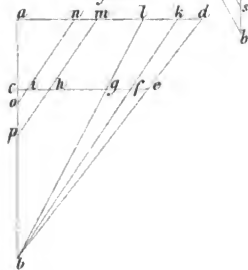


Fig. 456.



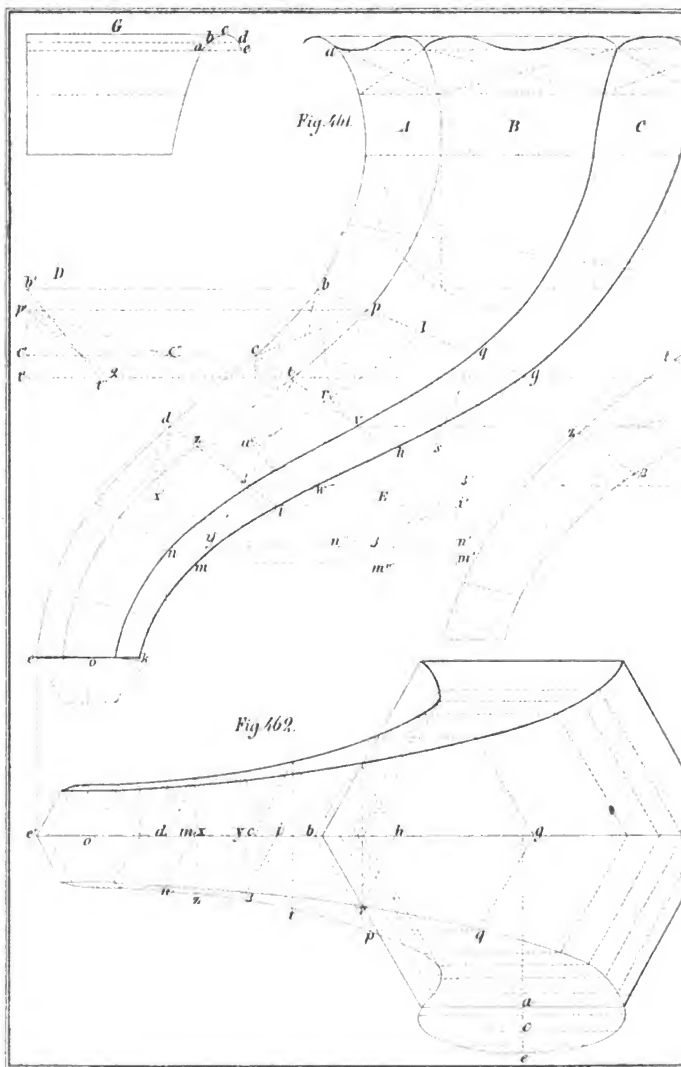


Fig. 463.



Fig. 463.



Fig. 464.



T.

Princeton University Library



32101 076800323

